

Письма в ЖЭТФ, том 16, вып. 2, стр. 77 - 79

20 июля 1972 г.

ИССЛЕДОВАНИЕ РЕАКЦИИ $(e, e' p)$ НА ЯДРЕ Li_6

Ю. П. Аникуфьев, В. Л. Агранович, В. С. Кузьменко,
И. И. Мирошниченко, П. В. Сорокин

В этой работе впервые исследовалась реакция $Li^6(e, e' p)He^5$ при энергетическом разрешении достаточном для разделения эффектов от s - и p -оболочек ядра Li^6 . Ниже излагаются результаты измерения поперечного сечения реакции $Li^6(e, e' p)He^5$ в зависимости от недостающей энергии B , определяемой соотношением

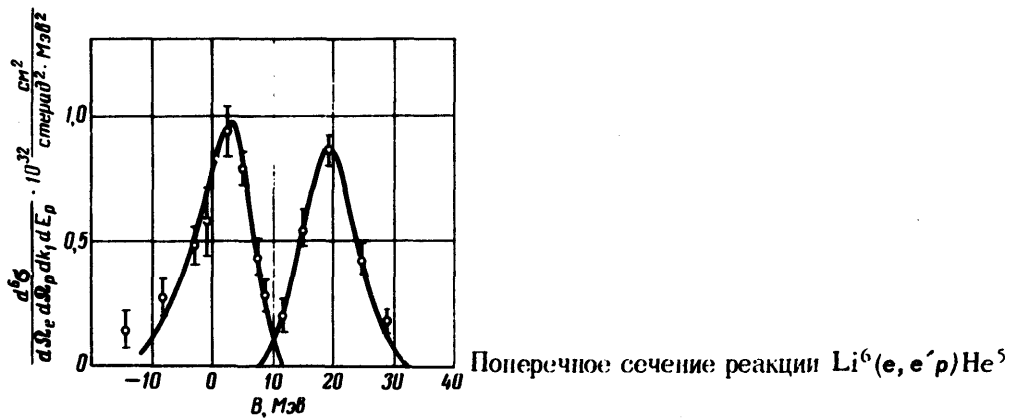
$$B = k_0 - k_1 - T_p - T_N , \quad (1)$$

где k_0 , k_1 , T_p и T_N – энергии начального и конечного электронов и кинетические энергии протона и остаточного ядра, соответственно.

Измерения проводились на пучке электронов с энергией $1180 \pm 3 MeV$ линейного ускорителя ФТИ АН УССР при постоянных углах регистрации вторичных электронов (20° лаб) и протонов ($68,3^\circ$ лаб) и постоянном импульсе протона ($404 MeV/c$). Скорость счета совпадений сигналов протонного и электронных детекторов измерялась при различных значениях энергии рассеянного электрона k_1 , соответствующих изменению недостающей энергии B от $-15 MeV$ до $+30 MeV$. В указанных выше кинематических условиях измерений при $B = 0$ проявляется вклад от упругого рассеяния на водороде, содержащемся в мишени Li^6 , величина которого была нами установлена из измерения угловой корреляции реакции $Li^6(e, e' p)He^5$.

Мишень толщиной $0,372 \text{ г/см}^2$ изготавлялась из металлического лития с содержанием $90,4\%$ изотопа Li^6 . Калибровка шкалы недостающей энергии производилась по реакции упругого рассеяния на водороде, точность калибровки $\pm 1 MeV$. Вторичные электрон и протон анализировались по импульсу двумя магнитными спектрометрами [1] с телесными углами $1,3 \cdot 10^{-3}$ стерад и $8,2 \cdot 10^{-3}$ стерад, соответственно.

Для регистрации электронов применялся трехканальный телескоп с захватом по импульсу 0,4% на канал и расстоянием между соседними каналами 0,6%, захват по импульсу протонного телескопа составлял 3,12%. Совпадения сигналов каждого из трех каналов электронного телескопа с сигналом протонного телескопа регистрировались время-амплитудными конверторами. Разрешение установки по недостающей энергии составляло около 9 Мэв (полная ширина на половине высоты), захват по импульсу ядра отдачи составлял 30 Мэв/с.



Измеренное поперечное сечение реакции $(e, e'p)$ на ядре Li^6 в зависимости от недостающей энергии B показано на рисунке. Вклад водорода, содержащегося в мишени Li^6 , вычен. Радиационные поправки к сечениям, приведенным на рисунке, не вводились (по предварительным оценкам они увеличивают сечение на 15 ± 17% [2]). Сечение имеет два максимума при $B = 3,5 \pm 1 \text{ Мэв}$ и $B = 19 \pm 1 \text{ Мэв}$, соответствующих остаточному ядру He^5 в основном состоянии и в состоянии с энергией возбуждения 16,7 Мэв.

Из исследований реакции $\text{Li}^6(p, .2p)\text{He}^5$ следует, что эти два состояния образуются при выбивании протона из p - и s -оболочек ядра Li^6 [3]. Отметим, что в выполненных недавно работах по исследованию реакции $(e, e'p)$ [4] и аналогичной реакции $(\pi^-, \pi^- p)$ на ядре Li^6 [5] энергетическое разрешение было недостаточно для разделения вкладов s - и p -оболочек.

Проинтегрированное по B поперечное сечение $d^5\sigma / d\Omega_e d\Omega_p dE_p$ без учета искажения протонной и электронных волн ядерным потенциалом было нами вычислено в импульсном приближении с осцилляторными волновыми функциями, параметры которых были взяты из $(p, 2p)$ экспериментов на ядре Li^6 [6]

Оболочка	α Мэв/с	$d^5\sigma_{\text{теор}} \cdot 10^{31}$	$d^5\sigma_{\text{эксп}} \cdot 10^{31}$	$d^5\sigma_{\text{эксп}}$
		$\text{см}^2/\text{стэр}^2 \text{Мэв}$	$\text{см}^2/\text{стэр}^2 \text{Мэв}$	$d^5\sigma_{\text{теор}}$
1s	110	2,02	$1,06 \pm 0,15$	$0,525 \pm 0,074$
1p	40	4,09	$1,25 \pm 0,18$	$0,306 \pm 0,044$

В таблице приведены теоретические значения поперечных сечений вместе с параметрами импульсного распределения протонов α s - и

p -оболочек, принятymi в расчете. Там же приведены измеренные сечения с учетом радиационных поправок (17%) и их отношения к теоретическим (коэффициенты подавления).

Коэффициенты подавления, учитывая их слабую зависимость от осцилляторного параметра [7], мы оценили, используя расчеты работы [8], их значения равны 0,650 для s и 0,790 для p -оболочки ядра Li^6 . Из таблицы видно, что измеренный коэффициент подавления для s -оболочки близок к расчетному, в то время как для p -оболочки он значительно меньше. Причина расхождения, по-видимому, обусловлена малой величиной параметра импульсного распределения $1p$ -оболочки, использованного в расчете $d^5\sigma_{\text{теор}}$. Если для p -оболочки принять величину $a = 50 \text{ MeV}/c$, то коэффициент подавления будет иметь близкое к расчетному значение 0,74.

Таким образом, из наших измерений следует, что параметр импульсного распределения протонов s -оболочки ядра Li^6 равен $110 \text{ MeV}/c$ в согласии с (p , $2p$) экспериментами, тогда как для p -оболочки он равен $50 \text{ MeV}/c$, что отличается от значения $40 \text{ MeV}/c$, полученного из опытов (p , $2p$).

Авторам приятно поблагодарить А.П.Ключарева за постоянный интерес к работе и Е.В.Инопина за полезные консультации.

Авторы благодарны коллективам ускорителя и группы эксплуатации выходных устройств, обеспечившим возможность проведения эксперимента.

Физико-технический институт
Академии наук Украинской ССР

Поступила в редакцию
5 июня 1972 г.

Литература

- [1] Н.Г.Афанасьев, В.А.Гольдштейн, С.В.Дементий и др. ПТЭ, 3, 30, 1968.
- [2] C.de Calan, G.Fuchs, Nuovo Cim., 38, 1594, 1965.
- [3] J.C.Roynette, M.Arditi, J.C.Jacmart et al., Nucl. Phys., A95, 545, 1967.
- [4] F.H.Heimlich, E.Roessle, M.Kobberling et al., DESY Report 71/55, 1971.
- [5] Yu. Bayukov, V.B.Fedorov, V.D.Khovansky et al., Phys. Lett., 33B, 416, 1970.
- [6] Прямые процессы в ядерных реакциях, Атомиздат 1965.
- [7] Д.В.Мебония, К.А.Чиофи, ЯФ., 4, 1207, 1966.
- [8] G.Jacob and Th. A.J.Maris., Nucl. Phys., 31, 139, 1962.